

水热条件硼酸镁盐过饱和水溶液的相转化*

周建国^{1,2}闫长领¹卢 雁¹高世扬^{1,2,3}夏树屏³¹ 河南师范大学化学与环境科学学院, 新乡 453002; ² 兰州大学化学系, 兰州 730000;³ 中国科学院盐湖研究所西安二部, 西安 710043)

摘要 针对中国盐湖硼资源特点, 模拟合成 $MgO \cdot 3B_2O_3 \cdot H_2O$ 过饱和溶液, 在 120 ℃水热条件下对固相析出的过程进行跟踪。析出固相采用化学分析方法、X 射线衍射、红外光谱进行物相鉴定。对析出固相的相转化反应机理进行了探讨, 结合有关实验分析了 $MgSO_4$ 对固相析出的影响。

关键词: 水热条件, 过饱和溶液, 硼酸镁盐, 相转化

中图分类号: O643.1

目前, 青藏高原盐湖湖区已发现 12 种硼酸盐矿物, 其中 5 种是水合硼酸镁盐^[1]。为了探索不同硼酸镁盐的形成条件, 高世扬等^[1-3]对室温下 $MgO \cdot nB_2O_3 \cdot 18\% MgCl_2(MgSO_4) \cdot H_2O$ 过饱和溶液的结晶动力学进行了大量研究。我们^[4]曾对水热条件下 $MgO \cdot 3B_2O_3 \cdot 18\% MgSO_4 \cdot H_2O$ 过饱和溶液析出固相进行了研究, 得出了与常温常压完全不同的结果。为了弄清水热条件下矿化剂 $MgSO_4$ 对析出固相的影响, 本文对 $MgO \cdot 3B_2O_3 \cdot H_2O$ 过饱和溶液水热条件下析出固相过程进行跟踪, 并与 $MgO \cdot 3B_2O_3 \cdot 18\% MgSO_4 \cdot H_2O$ 过饱和溶液体系相比较, 发现两种过饱和溶液体系析出固相过程有很大差异。

1 实验部分

1.1 主要试剂与仪器

H_3BO_3 (分析纯); MgO 用碱式碳酸镁(分析纯)在 650 ℃下灼烧 3 h 制得; 水为二次蒸馏水。Perkin-Elmer 红外光谱仪, KBr 压片; D8ADVANCE(BRUKER, axs, Cu 靶)X 射线衍射仪。

1.2 实验过程及物相分析

称取 54.414 g H_3BO_3 溶于 450 mL 水, 于 50 ℃下进行搅拌, 分次加入 5.904 g MgO , 搅拌至完全溶解, 趁热用#4 砂芯漏斗过滤。取一定量滤液于高压反应釜中(填充度 60%), 密封后放入 120 ℃恒温箱。间隔一定时间取样冷却、过滤, 依次用乙醇水溶液、无水乙醇和无水乙醚洗涤固相各二次, 转入真

空干燥箱, 在低于 40 ℃下干燥至恒重。固相用文献[5]中的方法进行化学分析; 用 X 射线衍射仪、FT-IR 光谱仪进行物相鉴定。

2 结果与讨论

2.1 析出固相的组成、结构

固相 X 射线衍射谱(图 1)表明: 18 h 前析出的固相为无定形, 20 h 后有结晶相析出, 其 X 射线谱与标准图谱 70-1762(C)相符, 产物为晶状硼镁石($Mg_2[B_2O_4(OH)]OH$)。

综合 XRD 谱、固相化学分析结果(表 1)、IR 谱(图 2)并参考相关文献^[6-7], 推断出反应过程大致可分为四个阶段。

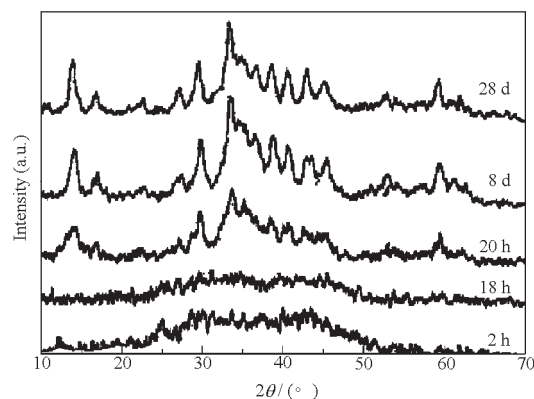


图 1 不同时间析出固相的 XRD 图谱

Fig. 1 XRD patterns of separated solid phases at different times

2003-07-09 收到初稿, 2003-10-15 收到修改稿。联系人: 周建国(E-mail: zhoujgwj@sina.com; Tel: 0373-3326335)。^{*}国家自然科学基金(20271051)、河南省自然科学基金(0111030200), 河南省高校青年骨干教师资助计划项目。

* 国家自然科学

表 1 析出固相化学组成(质量分数, w)Table 1 Chemical composition (mass fraction, w) of solid phases

Time	Composition (w)			$n(\text{MgO}): n(\text{B}_2\text{O}_3): n(\text{H}_2\text{O})$	Formula
	MgO	B_2O_3	H_2O		
2 h	0.2110	0.5583	0.2307	2: 3. 063: 5. 031	
6 h	0.2090	0.5538	0.2372	2: 3. 067: 5. 082	$2\text{MgO} \cdot 3\text{B}_2\text{O}_3 \cdot 5\text{H}_2\text{O}$
10 h	0.2133	0.5538	0.2329	2: 3. 005: 4. 889	
12 h	0.2374	0.5031	0.2595	2: 2. 453: 4. 896	
14 h	0.2350	0.4965	0.2685	2: 2. 446: 5. 117	$2\text{MgO} \cdot 3\text{B}_2\text{O}_3 \cdot 5\text{H}_2\text{O}$
16 h	0.2444	0.4684	0.2872	2: 2. 219: 5. 263	$+ \text{MgO} \cdot \text{B}_2\text{O}_3 \cdot 3\text{H}_2\text{O}$
18 h	0.2452	0.4659	0.2889	2: 2. 200: 5. 276	
20 h	0.4211	0.4317	0.1472	2: 1. 187: 1. 563	
1 d	0.4493	0.4202	0.1305	2: 1. 083: 1. 300	$\text{MgO} \cdot \text{B}_2\text{O}_3 \cdot 3\text{H}_2\text{O}$
3 d	0.4353	0.4268	0.1379	2: 1. 135: 1. 419	$+ 2\text{MgO} \cdot \text{B}_2\text{O}_3 \cdot \text{H}_2\text{O}$
8 d	0.4413	0.4261	0.1326	2: 1. 118: 1. 346	
12 d	0.4683	0.4240	0.1076	2: 1. 048: 1. 029	
28 d	0.4688	0.4221	0.1091	2: 1. 043: 1. 042	$2\text{MgO} \cdot \text{B}_2\text{O}_3 \cdot \text{H}_2\text{O}$

Note: water values obtained by subtraction, h: hour, d: day

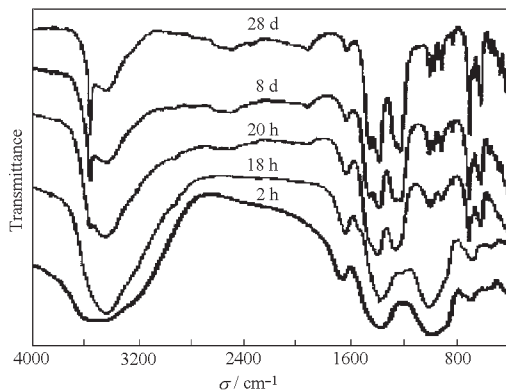


图 2 不同时间析出固相的 IR 图谱

Fig. 2 IR patterns of separated solid phases at different times

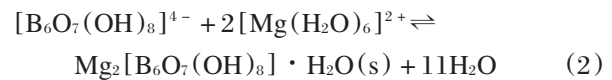
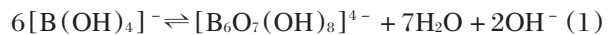
第一阶段: 析出 $2\text{MgO} \cdot 3\text{B}_2\text{O}_3 \cdot 5\text{H}_2\text{O}$. 反应时间从 2 h 到 10 h, 析出的固相为无定形、介稳相。第二阶段: $2\text{MgO} \cdot 3\text{B}_2\text{O}_3 \cdot 5\text{H}_2\text{O}$ 向 $\text{MgO} \cdot \text{B}_2\text{O}_3 \cdot 3\text{H}_2\text{O}$ 相转化。反应时间从 12 h 到 18 h, 为两相共存期, 新固相亦为无定形、介稳相。第三阶段: 无定形 $\text{MgO} \cdot \text{B}_2\text{O}_3 \cdot 3\text{H}_2\text{O}$ 向晶态 $2\text{MgO} \cdot \text{B}_2\text{O}_3 \cdot \text{H}_2\text{O}$ 的相转化。反应时间从 20 h 至 8 d, 亦为两种固相共存期, 新固相为晶体、稳定相。第四阶段: 析出 $2\text{MgO} \cdot \text{B}_2\text{O}_3 \cdot \text{H}_2\text{O}$ 晶体, 转化完全。该阶段从 12 d 到 28 d, 只有晶状硼镁石存在。

2.2 相转化反应机理

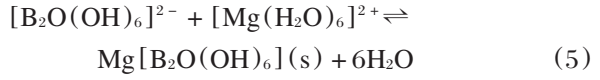
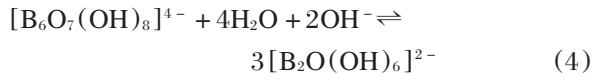
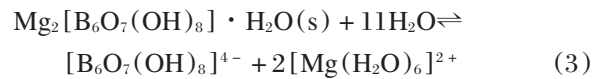
高世扬等^[1-3]对硼酸镁盐反应机理已有不少报导, 结合本文实验结果和相关文献^[8-10], 提出相转化

的可能的反应机理如下。

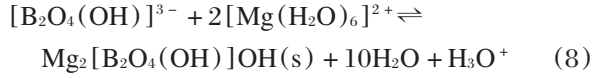
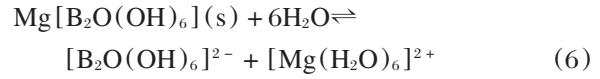
开始阶段, H_3BO_3 和 MgO 溶于水发生反应形成 $[\text{B}(\text{OH})_4]^-$ 和 $[\text{Mg}(\text{H}_2\text{O})_6]^{2+}$ 。由于 H_3BO_3 浓度较高, $[\text{B}(\text{OH})_4]^-$ 可能进一步缩聚成 $[\text{B}_6\text{O}_7(\text{OH})_8]^{4-}$, 后者与 $[\text{Mg}(\text{H}_2\text{O})_6]^{2+}$ 结合生成介稳相 $\text{Mg}_2[\text{B}_6\text{O}_7(\text{OH})_8] \cdot \text{H}_2\text{O}$, 达到饱和而析出:



第二阶段介稳相 $\text{Mg}_2[\text{B}_6\text{O}_7(\text{OH})_8] \cdot \text{H}_2\text{O}$ 溶解转化, 然后析出另一种介稳相 $\text{Mg}[\text{B}_2\text{O}(\text{OH})_6]$:



第三阶段介稳相 $\text{Mg}[\text{B}_2\text{O}(\text{OH})_6]$ 溶解转化, 析出稳定相 $\text{Mg}_2[\text{B}_2\text{O}_4(\text{OH})]\text{OH}$:



2.3 MgSO_4 对硼酸镁盐析出的影响

通过与相同水热条件下 $\text{MgO} \cdot 3\text{B}_2\text{O}_3 \cdot 18\% \text{MgSO}_4 \cdot \text{H}_2\text{O}$ 过饱和溶液析出固相的过程相比较, 我

们发现, $MgSO_4$ 对固相析出的过程有两种影响。一是使析出固相的时间推迟, 二是抑制 $Mg_2[B_6O_7(OH)_8] \cdot H_2O$ 和 $Mg[B_2O(OH)_6]$ 的析出。这可能是由于 $MgSO_4$ 对硼酸镁盐的盐溶作用^[11], 使得各种硼酸镁盐的溶解度变大, 因而固相析出的时间推迟; 又由于 $MgSO_4$ 对 $Mg_2[B_6O_7(OH)_8] \cdot H_2O$ 和 $Mg[B_2O(OH)_6]$ 增溶作用相对于 $Mg_2[B_2O_4(OH)]OH$ 较大, 使得前二者不能饱和而析出, 故 $MgO \cdot 3B_2O_3 \cdot 18\% MgSO_4 \cdot H_2O$ 过饱和溶液只析出 $Mg_2[B_2O_4(OH)]OH$ 。

References

- 1 Ma, Y. T. ; Xia, S. P. ; Gao, S. Y. *Acta Phys.-Chim. Sin.*, **2001**, *17*(11): 1021 [马玉涛, 夏树屏, 高世扬. 物理化学学报(Wuli Huaxue Xuebao), 2001, 17(11): 1021]
- 2 Ma, Y. T. ; Xia, S. P. ; Gao, S. Y. *Chemical J. Chinese Universities*, **2002**, *23*(1): 18 [马玉涛, 夏树屏, 高世扬. 高等学校化学学报(Gaodeng Xuexiao Huaxue Xuebao), 2002, 23(1): 18]
- 3 Ma, Y. T. ; Xia, S. P. ; Gao, S. Y. *Chemical J. Chinese Universities*, **2002**, *23*(9): 1753 [马玉涛, 夏树屏, 高世扬. 高等学校化学学报(Gaodeng Xuexiao Huaxue Xuebao), 2002, 23(9): 1753]
- 4 Zhou, J. G. ; Yan, C. L. ; Lu, Y. ; Xia, S. P. ; Gao, S. Y. *Chinese J. Inorganic Chem.*, **2003**, *19*(12): 1335) [周建国, 闫长领, 卢雁, 夏树屏, 高世扬. 无机化学学报(Wuji Huaxue Xuebao), 2003, 19(12): 1335]
- 5 Qinghai Institute of Salt Lakes, Chinese Academy of Science. The analysis methods of salt and brine. Beijing: Science Press, 1988: 55, 289 [中国科学院青海盐湖研究所. 卤水和盐的分析方法. 北京: 科学出版社, 1988: 55, 289]
- 6 Li, J. ; Xia, S. P. ; Gao, S. Y. *Spectrochimica Acta A*, **2000**, *51*: 519
- 7 Li, W. ; Gao, S. Y. ; Xia, S. P. *J. Salt Lake Science*, **1996**, *4*(2): 43 [李武, 高世扬, 夏树屏. 盐湖研究(Yanhu Yanjiu), 1996, 4(2): 43]
- 8 Liu, Z. H. ; Hu, M. C. ; Fan, C. *Chemical Research and Application*, **2000**, *12*(4): 424 [刘志宏, 胡满成, 范承. 化学研究与应用(Huaxue Yanjiu Yu Yingyong), 2000, 12(4): 424]
- 9 Li, W. ; Li, J. ; Li, B. *J. Salt Lake Science*, **1996**, *4*(2): 18 [李武, 李军, 李冰. 盐湖研究(Yanhu Yanjiu), 1996, 4(2): 18]
- 10 Liu, Z. H. ; Hu, M. C. ; Gao, S. Y. *Chemical J. Chinese Universities*, **1999**, *20*(2): 186 [刘志宏, 夏树屏, 高世扬. 高等学校化学学报(Gaodeng Xuexiao Huaxue Xuebao), 1999, 20(2): 186]
- 11 Song, P. S. ; Du, X. H. ; Sun, B. *Chin. Sci. Bull.*, **1987**, *19*: 1492 [宋彭生, 杜宪惠, 孙柏. 科学通报(Kexue Tongbao), 1987, 19: 1492]

Phase Transformation of Supersaturated Solution of $MgO \cdot 3B_2O_3 \cdot H_2O$ under Hydrothermal Condition*

Zhou Jian-Guo^{1,2} Yan Chang-Ling¹ Lu Yan¹ Gao Shi-Yang^{1,2,3} Xia Shu-Ping³

(¹College of Chemistry and Environmental Science, Henan Normal University, Xinxiang 453002; ²Department of Chemistry, Lanzhou University 730000; ³Xi'an Branch, Institute of Salt Lake, Chinese Academy of Science, Xi'an 710043)

Abstract Supersaturated solution of $MgO \cdot 3B_2O_3 \cdot H_2O$ was prepared and kept under hydrothermal condition at 120 °C. The solid phases separated from $MgO \cdot 3B_2O_3 \cdot H_2O$ supersaturated solution were identified by means of chemical analysis, XRD and IR. The process was a phase transformation of Mg-borates. Two amorphous intermediate-products are $2MgO \cdot 3B_2O_3 \cdot 5H_2O$ and $MgO \cdot B_2O_3 \cdot 3H_2O$ and the final product is the crystallizing $2MgO \cdot B_2O_3 \cdot H_2O$. The mechanism of phase transformation was proposed and the function of $MgSO_4$ in the supersaturated solution of $MgO \cdot 3B_2O_3 \cdot 18\% MgSO_4 \cdot H_2O$ was discussed.

Keywords: Hydrothermal condition, Supersaturated solution, Mg-borate, Phase transformation

Received: July 9, 2003; Revised: October 15, 2003. Correspondent: Zhou Jian-Guo(E-mail: zhoujgwj@sina.com; Tel: 0373-3326335).

*The Project Supported by NSFC(20271051) and NSFHN(0111030200) and The Program of Young Backbone Teachers in Higher Education Institutions of Henan Province